

# 一枝蒿与混淆品千叶蓍草的鉴别

新疆医学院第一附属医院药剂科(乌鲁木齐 830000)

沈季元\*

新疆药品检验所

刘伟新

**摘要** 通过对一枝蒿、千叶蓍草的生药性状鉴别、粉末显微鉴别及紫外光谱鉴别,找出了两者的区别特征,对正确识别、使用这两种药具有一定的实用价值。

**关键词** 一枝蒿 千叶蓍草 性状鉴别 显微鉴别 紫外光谱

一枝蒿为菊科蒿属植物一枝蒿 *Artemisia rupestris* L. 的干燥全草。目前存在着严重的混乱现象。常见同名异物的有千叶蓍草、一枝黄花等。千叶蓍草为菊科蓍属植物千叶蓍 *Achillea millefolium* L. 的全草。两者不仅品种不同,功能主治也有显著差异。为了更好地利用一枝蒿,保证用药安全有效。现将一枝蒿和千叶蓍草的性状、粉末及紫外光谱的鉴别介绍如下。

## 1 材料与仪器

一枝蒿、千叶蓍草由新疆药品检验所刘勇民同志鉴定。仪器为美国瓦里安(VARIAN) DMS-200型分光光度计。

## 2 性状鉴别

见表。

## 3 粉末显微特征

3.1 一枝蒿:粉末呈黄绿色,非腺毛丁字形或叉状,柄由1~3个细胞组成;腺毛椭圆形、类圆形,腺头部由6~10个细胞组成。气孔不定式,副卫细胞3~4个。花粉粒类球形,边缘呈小刺状突起,螺旋和孔纹导管(图1)。

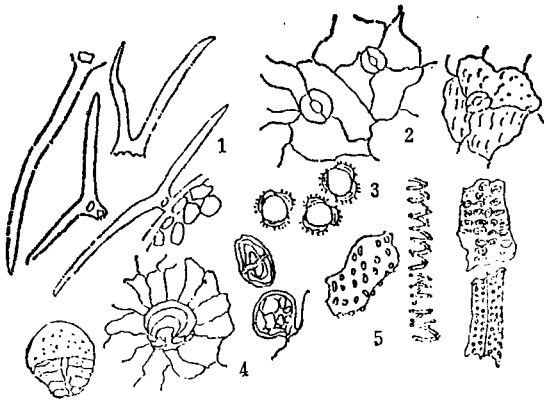


图1 一枝蒿粉末特征

1-非腺毛 2-气孔 3-花粉粒 4-腺毛 5-导管

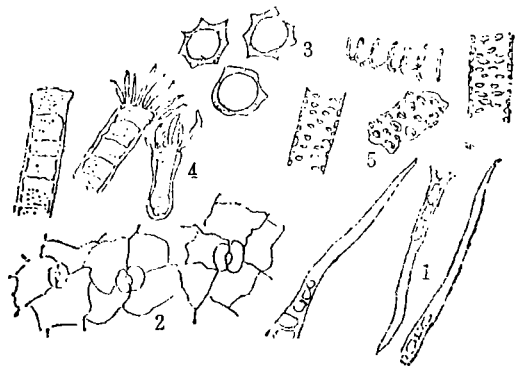


图2 千叶蓍草粉末特征

1-非腺毛 2-气孔 3-花粉粒 4-腺毛 5-导管

3.2 千叶蓍草:粉末呈绿色,非腺毛呈鞭状,柄由1~5个细胞组成;腺毛圆柱形,腺头部由5~10个细胞组成;气孔不定式,副卫细胞3~5个。花粉粒类球形多角。网纹、螺旋及具缘纹孔导管(图2)。

\*Address: Shen Jiyuan, The Frist Hospital, Xinjiang Medical College, Wulumuqi

表 一枝蒿与千叶薯草的性状鉴别

	根、根茎	茎	叶	花	气 味
一枝蒿	圆柱形，表面土黄色或灰褐色，断面浅黄色。全株高10~50cm	圆形，单一或数个，于根基处弯曲。有不显著的细纵条纹。表面紫红色，断面白色中空。幼枝和花枝上部密被短柔毛	多卷曲，破碎或脱落，互生或近于对生，为2次羽状深裂，终裂片狭披针形	头状花序，半球形，腋生，集成总状狭圆锥花丝。管状花黄色	全株具特异芳香，味微苦
千叶薯草	圆柱形，表面深褐色、断面黄白色。全株高30~100cm	圆形，多单一，直立。有明显之纵纹，表面绿色，被蛛丝状毛。断面白色	互生，1~2回羽状分裂，叶片披针形或长椭圆形	头状花序多数，集成伞房状，舌状花白色 淡红色或紫红色	全株气微香，味辛，微苦

#### 4 紫外光谱鉴别

分别精密称取一枝蒿、千叶薯草粉末50mg，置100ml刻度试管中，加乙醇10ml浸泡24h，过滤，取滤液3ml置25ml容量瓶中，用乙醇调至刻度，以乙醇作空白，在紫外分光光度计上检测，扫描范围200~500nm。结果见图3。

#### 5 讨论

从性状鉴别表中可看出，一枝蒿与千叶薯草在根、根茎，茎，叶，花等方面都有显著差异。粉末特征，两者的非腺毛，腺毛，花粉粒等也有不同。这些特征可将两者区分开。由紫外光谱图中可见，一枝蒿在325nm及288nm处各有一吸收峰，而千叶薯草没有，可作为鉴别的依据。

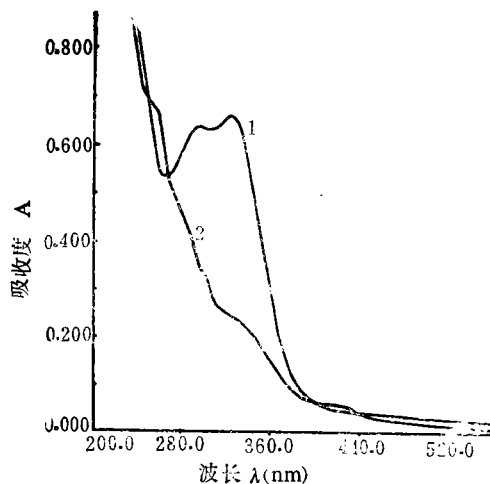


图3 紫外吸收光谱图

1-一枝蒿 2-千叶薯草

(1993-11-30收稿)

### 欢迎订购《有毒中草药彩色图鉴》

由张庆荣等主编的《有毒中草药彩色图鉴》已由天津科技翻译公司出版。该书收载有毒中草药500余种。“图鉴”全部采用彩色实物照片，照片清晰、逼真，如实地反映出这些有毒中草药的形态全貌，生长习性及其生态环境。书中每一品种分别按来源、形态、生境分布、采制、成分、功能主治等项进行了简要的描述，对直观鉴别物种、形态特点是一部具有珍贵，科学价值和实用价值的大型精装彩色图谱。书后有中文及拉丁名索引。它是中医药科研、教学、生产及临床方面的参考书，同时也是识别中药和药材鉴别人员的实用工具书。订价每册130元，免收挂号邮费。订阅者请寄 300193（邮编）天津市鞍山山西道308号《中草药》编辑部金秀莲收。

# Identification of Yizhihao (*Artemisia rupestris*) and Its Confusable Material Common Yarrow (*Achillea millefolium*)

Shen Jiyuan, Liu Weixin

Differences in their pharmacognostic features, microscopic appearance of their powders and UV spectrums, can be used to differentiate *Artemisia rupestris* from its confusable *Achillea millefolium*. It is of value to identify them in actual practice.

(Original article on page 95)

(上接第83页)

百分率。结果如表3, 芦荟多糖在250mg/kg时, 对乙醇所致胃损伤有轻度抑制倾向。给予500mg/kg剂量时则有显著的抑制作用, 抑制率为46.8%。实验中还发现对照组动物有乙醇中毒现象, 而给药组中毒程度较轻。提示芦荟多糖有抑制胃粘膜对乙醇吸收而起保护作用。

**表1 芦荟多糖对拘束水浸应激性溃疡模型的影响**

组别	剂量 (mg/kg)	动物数 (只)	溃疡指数 ( $\bar{x} \pm SD$ )	抑制率 (%)
对照组		10	34.0 ± 7.6	
芦荟多糖	250	10	10.3 ± 3.4***	69.7
	125	10	20.8 ± 9.2**	38.8

与对照组比较 \*\* $P < 0.01$ , \*\*\* $P < 0.001$

### 3 讨论

本研究在3种小鼠溃疡模型上初步观察了芦荟多糖预防溃疡形成的作用, 发现均有较明显的抑制效果。文献报道芦荟在临床上用于治疗各种炎症和胃溃疡, 促进伤口愈合<sup>[1]</sup>。有人从芦荟中提取到一种糖蛋白 (aloclin A), 对多种实验性胃溃疡有显著抑制作用<sup>[4]</sup>。近期报道芦荟多糖有免疫促进作用<sup>[6]</sup>, 从我们的实验结果看, 芦荟多糖对实验性胃溃疡有预防保护作用, 可能是通过免疫增强来抗攻击因子而实现的。

致谢: 本所植化室袁阿兴研究员提供实验样品并指导。

**表2 芦荟多糖对消炎痛溃疡模型的影响**

组别	剂量 (mg/kg)	动物数 (只)	给药途径	溃疡指数 ( $\bar{x} \pm SD$ )	抑制率 (%)
对照组		10	po	36.9 ± 5.6	
芦荟多糖	250	10	po	18.3 ± 6.3***	50.4
对照组		10	iv	33.8 ± 5.1	
芦荟多糖	250	10	iv	11.9 ± 3.5**	64.8

与对照组比较 \*\*\* $P < 0.001$

**表3 芦荟多糖对乙醇溃疡模型的影响**

组别	剂量 (mg/kg)	动物数 (只)	溃疡指数 ( $\bar{x} \pm SD$ )	抑制率 (%)
对照组		10	15.8 ± 8.9	
芦荟多糖	500	10	8.4 ± 5.1**	46.8
	250	10	13.1 ± 3.4	17.1

与对照组比较 \*\* $P < 0.05$

### 参 考 文 献

- 1 王 浩, 等. 中药材, 1987, 4: 45
- 2 樊亦军, 等. 中国中药杂志, 1989, 14(12): 42
- 3 陈 奇主编. 中药药理实验. 贵阳: 贵州人民出版社, 1988. 113
- 4 斋藤宽子, 他. 药学杂志(日), 1989, 109(5): 336
- 5 内山务, 他. 药学杂志(日), 1983, 109(9): 672
- 6 王蜀秀, 等. 植物学报, 1989, 31(5): 380

(b994-04-13收稿)